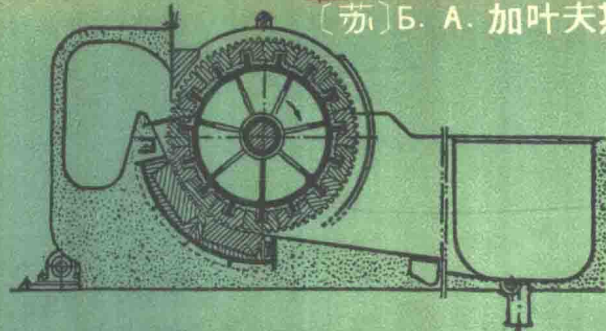


[苏]Б. А. 加叶夫斯基著



# 造纸工业的 机器与设备

輕工業出版社

# 造紙工業的机器与設備

[苏]B. A. 加叶夫斯基 著

馬伯龍 陳慶蔚 張新平  
任敦鑾 吳修和 顧文華 合譯

胡 清 泉 校

輕 工 業 出 版 社  
一九五八年·北京

## 內 容 介 紹

本書中包括有把半成品制成紙張的造紙工厂用的主要工艺設備的計算及設計材料；這些設備有打漿机器、紙漿精選設備、造紙机及整飾机器。

本書可供在造紙工厂管理部門或設計部門工作的工程师及技师研讀之用。

\* \* \*

苏联造纸工业杂志 1957 年第二期 曾对本書提出批评，認為書中取材不尽适当，重要部分叙述得不够詳尽，次要部分而又相当繁瑣。書中有的地方对工艺过程叙述得不明确，容易引起誤解；此外，在公式运算上，措辞用語上，都有錯誤和不当之处。

但此書也有可取的地方，例如在造纸工艺设备的計算与設計原理方面提供了很多值得参考的資料。这类書在我国造纸工业界还是很缺乏的，对我国的造纸工业中的工程技术人员还有一定的傳益，因此我社决定將这本書譯出出版。此書在公式运算方面的錯誤已根据批评資料作了修正；至于其他錯誤，俟有原文的修訂版时再作全部修訂。为了对讀者負責，一并將对本書的兩篇批评譯出附于書后，备供讀者参考。

Б. А. ГАЕВСКИЙ  
МАШИНЫ И АППАРАТЫ  
БУМАЖНОЙ  
ПРОМЫШЛЕННОСТИ  
ГОСУДАРСТВЕННОЕ НАУЧНО-ТЕХНИЧЕСКОЕ ИЗДАТЕЛЬСТВО  
МАШИНОСТРОИТЕЛЬНОЙ ЛИТЕРАТУРЫ  
КИЕВ 1955 МОСКВА

(本書根据苏联國立机器制造科技書籍出版社一九五五年基輔版譯出)

## 造 紙 工 業 的 机 器 与 設 备

[苏] B. A. 加叶夫斯基 著

馬伯龙 陈庆蔚 張新平 合譯

任敦鑾 吳修和 顧文华 合譯

胡 清 泉 校

\*

輕工業出版社出版(北京阜內大街)

北京市書刊出版發售票證局印字字第099号

北京市印刷一厂印刷 新华书店發行

\*

开本850×1168毫米·印张10·字数220,000

1958年2月第一版

1958年2月北京第一次印刷

印数(京)1—2000 定价(京)1.61元

統一書名: 15042 · 紙4

## 目 录

序言.....	4
第一章 打漿的机器.....	5
1.打漿机.....	9
2.在刀面上叩解纖維原料的理論.....	27
3.錐型精漿机.....	41
4.盤型精漿机.....	53
5.十字型精漿机.....	56
6.水力碎漿机.....	59
第二章 搅拌池.....	64
第三章 漿料濃度及配比的調節.....	69
第四章 紙漿精选及回收纖維的机器及設備.....	76
1.紙漿精选設備.....	76
2.回收設備及篩漿机.....	82
第五章 造紙机.....	124
1.进漿設備.....	127
2.造紙机構造的主要部分.....	135
3.造紙机的計算.....	197
第六章 整飾机器(完成机器).....	233
1.压光机.....	233
2.卷紙机.....	252
3.縱切-复卷机 .....	257
4.切紙机.....	263
第七章 造紙机及整飾机傳動的構造与計算.....	271
1.造紙机傳動設備的構造.....	272
2.造紙机傳動功率的計算.....	277
3.整飾机功率的計算.....	298
参考文献.....	311
附录.....	312

## 序　　言

造纸工业的机器与设备的特点是结构上的多样性及复杂性。纸及纸版的大规模流水生产，有赖于复杂的工艺设备。这种生产操作过程主要是连续进行的，甚至间歇的过程也在很大的程度上自动化机械化了。

在“造纸工业的机器与设备”一书中，搜集了一些由专门设计机构及机器制造厂所积累的关于造纸设备的构造及计算的材料。

计算方法是综合理论和实验研究的结果拟定的，这些研究是为了探讨纸张生产的物理过程而进行的。

作者在本书中所引用的关于决定造纸机车速的计算方法是以过滤原理作基础的。

作者衷心地向审查了本书中一些材料并提出宝贵意见的 И. И. 契尔諾勃尔斯基(Чернобыльский)教授和 И. В. 列文斯基(Левинский)讲师致谢。

所有关于本书内容的批评性意见和建议，希投寄：基辅(Киев)，克列沙齐克(Крецатик)，10. 乌克兰机器制造科学技术出版社(Укрмашгиз)。

## 第一章 打漿的机器

打漿是决定紙張物理性能并严重地影响在造紙机上形成紙幅的工序之一。

在打漿过程中，形成水悬浮体的纖維原料要承受打漿设备工作部分的作用。同时，纖維碎解而有膨潤和水化的現象伴生。

纖維的碎解和劈裂以及由于水分吸附而形成的膠膜，使纖維具有柔軟性、可塑性及“粘性”，由此大大地保留了水分；而在过滤、压榨及烘干时必须消耗一定的能量来除去水分。

当紙幅在造紙机銅網上成形以及通过湿压榨时，由于纖維細胞分子間的水分渗透和纖維氢氧根間形成了相互作用的分子力，而使纖維互相結合。

此后，在紙幅烘干时，水分就蒸發了，但由于表面張力的作用，纖維彼此更加靠近，以致在各个纖維的氢氧根之間产生氢鍵，这些各个纖維是在于紙頁中把氢氧根結合在一起的。这种結合称为附着，亦即形成纖維間表面結合力的一种附着。

此外，柔軟而帶化的纖維在形成紙幅时，彼此間相互交織而粘結。因此纖維之間产生了摩擦力，从而促使紙張的强度增加。这种力称为內聚力，或称为纖維对位移的抗力。其數值首先取决于纖維的机械磨碎程度，而这种磨碎程度代表了紙張中纖維的平均長度。

不仅紙張的强度决定于纖維的机械磨碎及水化的程度，而且紙張的其他物理性質，如緊度（單位体积重——譯者註）、透明度、吸收性、透气度等等也取决于此。

許多研究証明：

甲)紙張抗裂强度取决于纖維的長度；

乙)作为紙張裂断强度指标的紙張裂断長决定于 纖維的水

化程度；

丙)紙張的緊度取決于打漿度，這種打漿度是由在干燥后（由于其收縮）形成紙幅的纖維的水化程度來決定的；

丁)紙張的吸收性及其透氣度隨纖維水化程度之增加而減少。

紙張性質與打漿特征間的各種質量關係確定后，即可擬定各種紙張的製造方法。如製造粗糙的紙張時，只需要在很少水化的情況下稍微切短纖維即可。製造書寫紙及印刷紙時，需要較多的磨碎及較強的水化。製造防油紙則需要在強烈帶化的情況下高度水化。製造薄而堅牢的紙則需要縱向分裂、切短極少并有高度水化的纖維等等。

打漿過程所要求的目標應以水化作用及碎解作用間的一定關係來表示。粘化決定漿料的過濾性質，這種性質可借蕭彼爾—李格列爾粘度(ШР°)來度量。纖維切斷的程度可借伊凡諾夫測定器測定的纖維長度來表示。С. И. 伊凡諾夫(Иванов)❶建議採用漿料的粘度  $\Delta I$  與纖維的切斷程度  $\Delta l$  的比值來比較各種纖維漿料的性質：

$$K = \frac{\Delta I}{\Delta l}.$$

游離狀叩解的漿料的比值  $K=1.1$ ；中等程度叩解的漿料  $K=1.1-1.3$ ；粘狀叩解  $K=1.3-1.5$ ；很粘的叩解  $K=1.6$  及 1.6 以上。

很多因素對用植物原料制成的纖維懸浮液的打漿度發生影響，其中主要的有：研磨面對纖維的压力、漿料濃度、研磨面的材料性質、研磨面間相對移動的速度、漿料溫度、懸浮介質的氫離子指數 pH 及纖維材料的性質。茲分別研究其每一個因

❶ 見 1952 年第 3 期苏联“造纸工业”杂志所载 С. И. 伊凡諾夫著“打漿的理論及實踐”一文。該文之譯文見“造纸學習資料”第 4 期及第 5 期，譯者註。

素的影响。

压力是打漿的主要因素。纖維的机械磨碎作用随着压力的增高而增大，水化作用则随其增高而减少。单位压力的数值以公斤/厘米<sup>2</sup>表示，各种打漿时所需的压力如表1。

表 1 各种紙張需要的單位壓力數值

粘 狀 打 漈 时		游 离 狆 打 漈 时	
紙 張 种 类	單位 壓 力 公 斤 / 厘 米 <sup>2</sup>	紙 張 种 类	單位 壓 力 公 斤 / 厘 米 <sup>2</sup>
含有大量机械木漿的紙張	0.2—1.0	軟質化学漿及大量机械木漿制成的普通紙張	2.5—5
較軟的亞硫酸紙漿及机械木漿制成的紙張	1—2	硬質亚硫酸紙漿制成的紙張	4—8
硬質化学漿制成的紙張	2—5	未漂白法漿及破布半漿料制成的紙張	10—25
未漂白法漿制成的紙張	5—15	黃紙版	6—10
破布半漿料制成的紙張	3—6		

单位压力的数值纯粹是特定的。这一数值可以决定单位研磨面积上的压力，而并非决定单位纖維表面上的压力。此外，在打漿过程中这一特定的压力是变化的，因为在打漿过程之不同阶段中，如切断、疏解、纖維团之打散等等，就要求采取不同作用的打漿方法。

漿料浓度的增加导致更多的纖維聚集在研磨面上，而单位纖維表面上的压力则降低。这就导致形成粘狀打漿，而当浓度降低时则为游离狀打漿。

在漿料浓度增加之同时，較多数量的纖維受到叩解，因此在同一規格的打漿设备中，生产能力隨漿料浓度之增高而增加。

磨碎面积之大小亦有影响。在磨碎面間（一个打漿零件傳到另一个打漿零件）的总压力相同时，其面积較小者单位压力增加。实践証明，在薄刀低压的情况下可以获得漿料的粘狀打漿。因为这样的压力难以达到，故通常粘狀打漿在厚刀时获得。最近，B. I. 尤里也夫的研究說明，pH值为2—9时，

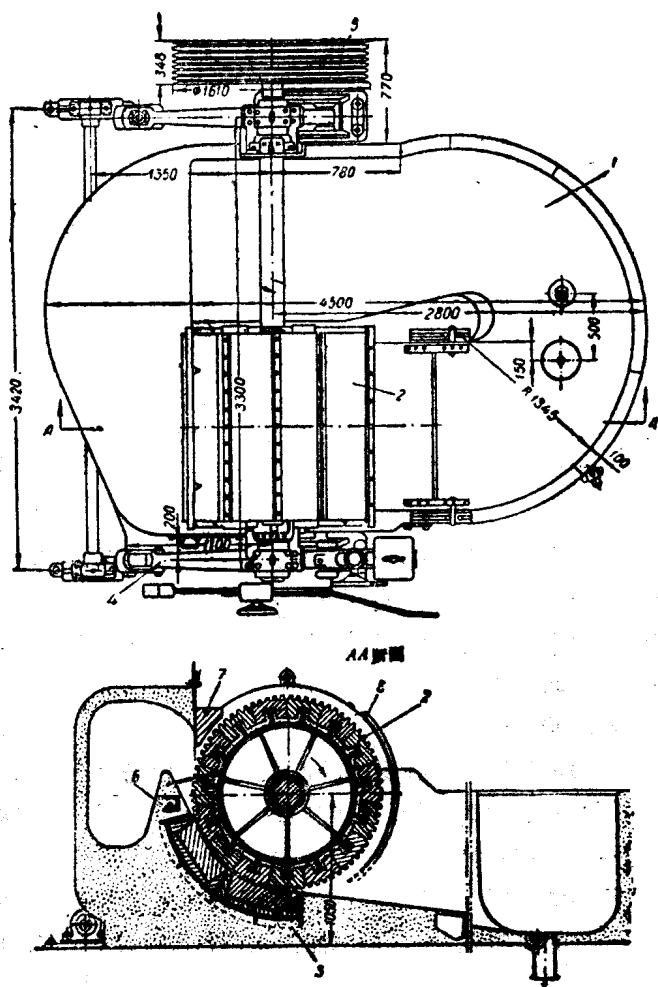


圖 1 打穀机

- 1—槧槽；2—刀輥；3—底刀；4—平衡機構；5—皮帶輪；  
6—山頭；7—擋板；8—護板。

实际上几乎对打漿强度不起影响。

由于纖維与磨碎面的摩擦产生热量，打漿时的温度会提高。漿料温度升高至 $60-70^{\circ}$ 或更高时，打漿时间得延长而同时减低了紙張强度。这可用随着温度升高纖維之膨潤遂减小的道理以解释之。在打漿时可以防止漿料变热，例如以水冷却打漿设备机壳的中空壁層。

随着磨碎面相对运动速度的增加，被叩解的漿料纖維的水化作用也加强。然而这个問題尚有待于實驗證明。

磨碎面的材料，影响纖維水化及帚化过程的强度。使用鋼刀打漿可以加强纖維的切断，青銅刀則促成漿料水化之加强，而玄武岩刀則大大地縮短了获取極粘狀打漿的过程。以玄武岩刀裝在底刀上而以鋼刀裝于輶上，则可以使漿料粘度增加的程度 $\Delta I$  与纖維切断程度 $\Delta l$  之間得到最有利的比值—— $K = \frac{\Delta I}{\Delta l}$ 。

这样，在同样的工艺規程下，將由于各种纖維原料的化学成分及構造不同，打漿的結果也不相同。

打漿设备有間歇及連續作用的二种。但这种区分是有条件的，因为它只适用于單个设备。間歇作用的设备彼此互相串联成一組时，也能变为連續作用。在各企業中見到大量各种式样的打漿设备，但在本書中仅研究其中的主要者：打漿机、精漿机（錐型、盤型、十字型）及水力碎漿机。

## 1. 打漿机

称为打漿机的叩解設備（圖1），系由漿槽1、刀輶2、底刀3、蓋板、放漿閥及清洗閥、沉砂溝、平衡機構4和傳動皮帶輪5所組成。打漿机的工作原理如下：將濃度3--7%的纖維悬浮物注滿漿槽；当刀輶轉动时，漿料被吸引于刀輶与底刀的刀片之間进行叩解并重新摔倒槽中。在漿料未达到一定的打漿度前就一直这样地进行着。然后刀輶停止运转，叩解好的漿料即自槽中放出，再注入新的漿料进行叩解。为了叩解纖維，

刀軸藉落刀裝置壓向底刀，而使通過刀軸與底刀之間的纖維受到一定的壓力。均衡刀軸 2 重量之平衡機構 4 可供減輕壓力之用。

打漿机早于十七世紀就已發明了。虽然構造上个别部分甚至整个的打漿机都有了很大的改善，但其結構的基本原理仍迄今未变。目前打漿机在極大多数情况下采用間歇作用的設備。有时也將打漿机組成串联的机組，成为整个的連續作用流程。晚近已出現了連續作用的打漿机的設計，可是还未获得推广。

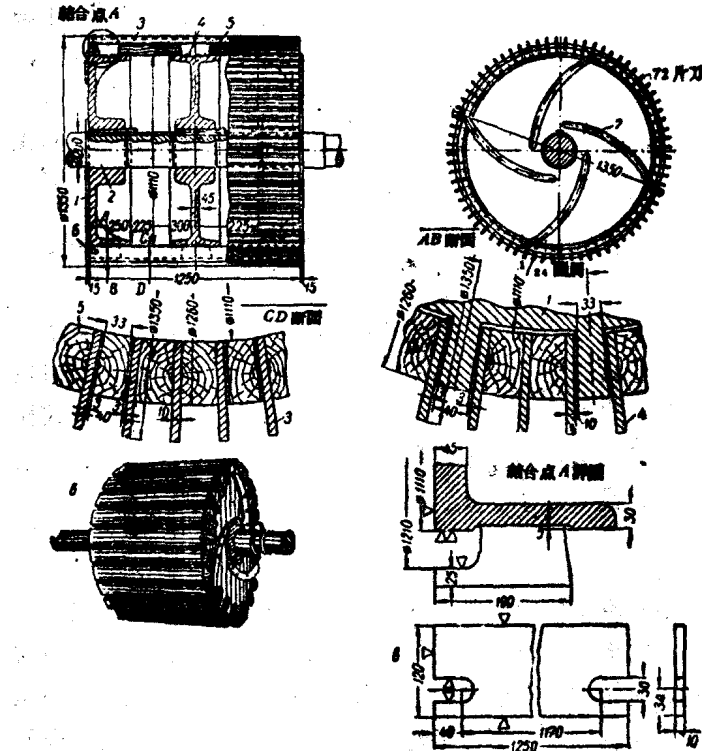


圖 2 打漿机刀輶的結構

4—組合式刀輜；1—端面圓盤；2—軸；3—刀片；4—中間圓盤；5—橡木墊片；6—繩緊環圈；7—彎曲薄板；8—帶有玄武岩刀片的刀輜；9—鋼刀的結構。

打漿机的刀辊（圖2）是由三个或四个套在軸2上的鑄鐵或鋼的圓盤所組成。盤上有加工成的凹槽，以裝置刀片。這樣的結構減輕了刀辊的重量，同时因为圓盤固定在鍵銷上面可以增加軸的直徑。

刀辊上刀片3是裝置于辊筒或圓盤1及4之凹槽內，并以橡木墊片5楔住。当刀片嵌入后，刀辊浸湿于水中时，垫木則膨胀而使刀片压紧。此外，刀片被套在防止它沿着母綫移动的兩端环圈6上（和在中部圓盤4上）；垫片与刀片兩端在加热状态下被套上的环圈紧压。

在刀辊的端壁裝有厚15—20毫米的弯曲薄板7，借此在運轉时可將充塞于刀辊与槽壁間的紙漿擰出。打漿机刀辊的軸在漿槽中以青銅的填料盒封閉裝置密封。

制造高級紙張时，刀辊兩端面鑲有銅的或其他防腐蝕材料的蓋板。

刀辊刀片由鋼、青銅或玄武岩石制成。采用6号鋼以及具有高度耐磨性并且在紙頁上不留有斑点的含錳或含鉻鎳的奧氏体的不銹鋼作为刀片的材料。制造粘狀打漿的高級紙張，以前是采用青銅的厚刀片，但現在已为玄武岩刀片所代替了。后者还消除了在打漿时因沉落在漿料中而呈現的金屬杂质。玄武岩刀片寬度是100—120毫米。这些刀片裝置于生鐵刀辊上，并以水泥灌注。在刀片的工作面刻有寬为10—15毫米、深为15—20毫米的縱向凹槽。在刀片間則留有在刀辊轉動时帶动漿料的溝槽。

刀片的使用年限如下：鋼或青銅制作者为2—3年，由不銹鋼制作者为7—8年，由玄武岩制作者可达12年。

除了圓筒形刀辊以外，也采用錐形或盤形的旋轉裝置，其工作面（錐面或平面）上均裝有刀片。通常刀片在刀辊上都軸向排列，因为这样配置便于安裝。以前，刀片对刀辊的母綫裝置成8—15°角度。如果刀片按旋轉方向往后傾斜，则漿料不易

被刀片帶動，並易于从刀槽中脫出，且掉過刀輶的漿料較少；當刀片向前傾斜時，漿料易被刀片帶動，但刀槽中漿料則難于傾倒，並且增加了掉過刀輶的漿料。此外，刀片向前傾斜排列使刀輶刀片間(刀槽中)的空氣難以逸出。

也有人建議在刀輶上裝置人字形的刀片，但這種裝置過于複雜。雖然刀片的分組排列可加速漿料在打漿機中的循環，但現在刀片裝置常是等距離的。

刀片間的寬度影響漿料在打漿機中的循環：刀槽越寬則越易被漿料所充塞，循環也越加強。刀槽的深度不應太大，因為在刀槽中漿料並未被叩解。而當漿料在刀槽中自行旋轉時只會磨損刀面。經驗指出刀槽深度應為 20—25 毫米。通常刀片間刀槽的尺寸為：寬度 30—60 毫米而深度 40—45 毫米。新式打漿機刀輶的直徑與長度之比為 1:1.2。

打漿機的底刀是由每組 15—20 把刀片的一組或兩組刀片 3 所組成(圖 3)。每組中的刀片彼此以木板間隔並以螺栓緊系。刀片組裝置於一個或兩個生鐵的底刀匣中，並以木楔 2、4 櫬半。也有用鉛把刀片灌鑄於刀匣中的。有時青銅底刀是由整塊金屬上鉋削出刀片而製成的。裝有刀片的底刀匣裝置於生鐵的底刀壳 1 中，底刀壳砌在刀輶下的槽中。

以前，底刀的裝置使刀輶的垂直軸線與第一組底刀垂直軸線重合。在新式結構中，刀輶垂直軸線通過底刀的第一把刀片的軸，有時底刀與垂直軸線還要遠些。在某些打漿機結構中，底刀的中心軸線同刀輶水平軸的角度為 45—60°。近來更增加了底刀刀片數目並且加寬了底刀，刀數也達到 48 把。刀輶向底刀落刀時，刀輶與底刀之刀片間的縫隙並不全都一致，所以並非所有接觸刀片的研磨面均承受同樣強度的負荷。同時，底刀對被叩解的漿料的壓力，自第一把刀片起至最後一把刀片是逐漸降低的。

底刀的刀片通常較刀輶刀片薄 2—3 毫米，而其材料也較

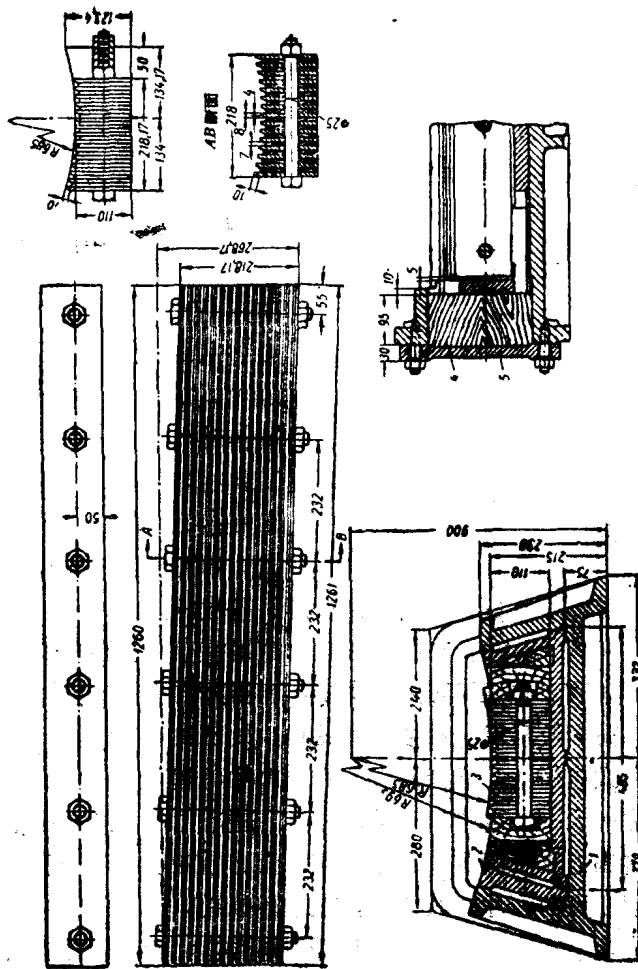


圖 3 打漿机底刀的構造  
1—鑄鐵刀壳；2,4—木楔；3—刀粗；4—刀匣蓋。

軟。前兩個刀的厚度應為 8—10 毫米，因為這些刀片在叩解時承受刀棍刀片方面來的主要衝擊力。底刀刀槽寬度為 7—12 毫米，深度為 5—6 毫米。減小這些尺寸時，底刀刀片間的刀槽就會被充塞。刀棍及底刀刀片的刀緣間形成 5—7° 的角度。

在某些結構中，並不是刀輶向底刀落刀，而且底刀向刀輶

紧压。在这种情况下，在底刀的全长上刀辊与底刀刀片间的缝隙较为均匀。这时，增加底刀刀数能够对叩解更为有效。

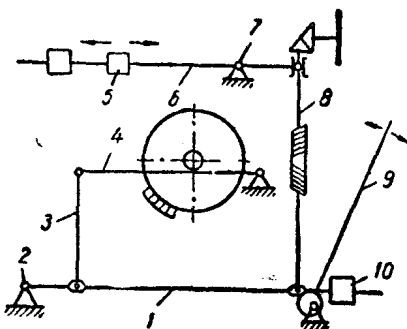


圖 4 打漿機新式衡重結構圖  
1—橫桿；2—固定軸；3—拉桿；4—橫桿；  
5—可移動的荷重；6—橫桿；7—支點；8—  
拉桿；9—打漿機刀輥快速提升機構；10—  
附加荷重。

保証在叩解纖維物質時能够得到一定的單位壓力。为此采用橫桿式衡重機構(圖4)。在橫桿6的自由端裝有可移動的一定量的荷重5。有时也采用可变的荷重，而橫桿自由端的位置則保持不变。前者較易保証掌握叩解過程，故已获得推广。

在旧式結構中，进行刀辊与底刀刀片間缝隙的調節时并未測定压力的大小。当漿料通过缝隙时，缝隙愈小产生的压力愈大。但其压力無法測定。此外，压力大小的变动亦取决于漿料通过刀辊与底刀刀片間的速度。在这种裝置下，叩解過程的控制仅藉听覺掌握，也就是在刀辊落刀时听其声音而进行控制的。

为了要得到質量匀一的漿料，一组中每个打漿机以及每次向打漿机进漿，必需自叩解开始后在同样的時間間隔下，重复进行同样的落刀，使刀辊对底刀产生同样的压力。这种落刀的調節是由看管几台打漿机的打漿工来进行的。他應該來得及在所有打漿机中同时进行同样的叩解過程，否則整組每个打漿机中所能得到的将是質量与产量各不相同的漿料。

刀辊的落刀及舉升裝置  
为了打漿，刀辊与底刀的磨碎面必需接近，這將藉落刀裝置而实现。在打漿机結構中，通常是刀辊落向底刀。將刀辊軸承安装在槓桿上，槓桿之一端可繞固定于机架上的軸而轉動，另一端則与落刀机构相連，操縱落刀机构即可落刀。

落刀裝置的結構必須

最近为了調整叩解过程，已提出如下的裝置。

1939年，在馬林造紙綜合工厂已进行在打漿机中使刀輶以同等程度落刀，在16—24小時中叩解極粘漿料的試驗获得成功。这个試驗是在打漿机落刀机构上装置有制动垫圈，而于其下垫有每片厚为0.25毫米而总厚为1.5—2.5毫米的一套薄片。然后使刀輶落刀直至制动垫圈压住薄片时为止。在叩解过程中，經過一定的时间后取出一塊薄片并使刀輶落下一塊薄片的厚度。取出最后一塊薄片再經過2—4小時后叩解即告結束。

在康姆納尔造紙厂，自1951年起即根据  
据Г. Т. 哥尔巴契夫

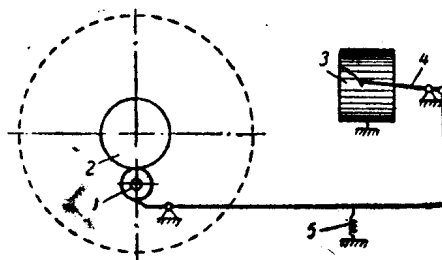


圖 5 人工落刀控制裝置圖

1—小報；2—刀輶軸；3—記錄筒；4—畫筆；  
5—彈簧。

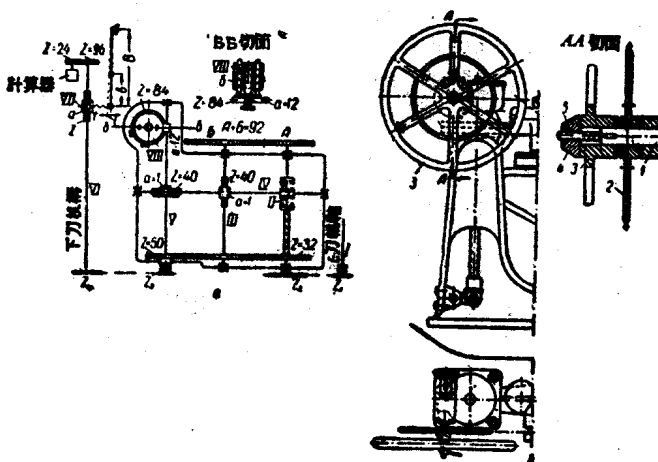


圖 6 中央造紙科學研究院烏克蘭分院的落刀機構調整器

a—运动系統圖，б—仪器的装备。1—把手；2—鏈輪；3—操縱輪；  
4—螺帽；5—螺釘。

(Горбачев) 的建議采用了按圖解以人工來均等落刀的裝置(圖5)。附有圖表的記錄筒應于叩解過程中旋轉一周，刀輶的落刀應以人工進行，以使落刀機構的畫筆畫出的線條接近于圖表上原定的線條。

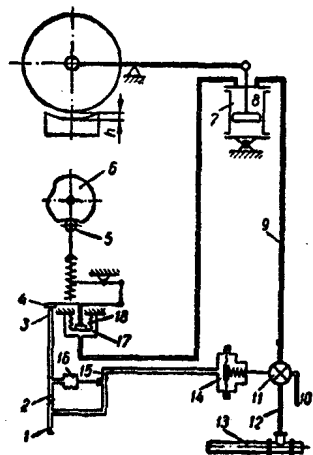


圖 7 哥爾巴契夫建議的刀輶向底刀落刀的水力万能仪器

1—导管；2—节流閥；3—噴嘴；4—關板；5—小輶；6—控制凸輪；7—活塞筒；8—活塞桿；9—連接閥門與活塞筒的導管；10—連接活塞筒與大氣的導管；11—閥；12—導管；13—總管；14—膜片室；15—閥；16—彈簧箭；17—小室；18—彈簧箱。

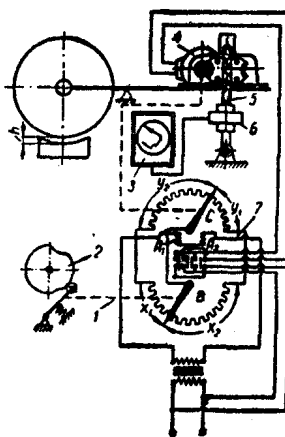


圖 8 打漿机刀輶自動落刀的電氣儀器

1—連接；2—控制凸輪；  
3—自動記錄壓力計；4—  
電動機；5—螺桿；6—計  
數器；7—電位計(B—調  
節的, C—平衡的)。

藉助于中央造紙科学研究院烏克蘭分院为馬林造紙厂所制的落刀調節器，使刀輶具有一定的落刀速度进行連續落刀的自動叩解已于1946年完滿地實現了。圖6表示了运动系統圖(圖6a)与仪器外形圖(圖6b)。仪器的機構是由打漿机刀輶軸藉鍵条傳动来带动的。也同样藉鍵条傳动由仪器的機構把运动傳給打漿机的落刀機構。落刀量的控制与上下位置的確定是藉裝置于落刀機構軸桿上的轉數計算器来实现的。仪器的落刀速度是以变速用齒輪A和B的选择来确定；而落刀的延续時間